

研究

开放存取

与线性典范变换相关的模糊性函数

车天文，李炳昭^{*}，徐天周

摘要

本文提出了一种与线性经典变换（LCT）相关的新的模糊性函数（AF），这种新的AF是在LCT和经典AF的基础上定义的。首先，研究了新定义的AF的主要属性和物理意义，结果表明，这种AF可以被看作是经典AF的一个概括。然后，新定义的自动增益被应用于检测线性频率调制信号的参数，并与经典的Radon变换相结合。通过模拟来验证所得出的结果的正确性，并讨论了所得出的结果与普通时频分析工具的比较。

关键词 线性典型变换(LCT)，模糊函数(AF)，拉登变换(RT)

简介

非稳态信号的处理和分析是信号处理界最热门的研究课题之一。人们提出了一系列新的信号处理理论来分析非平稳信号，如短时傅里叶变换（STFT）[1]、小波变换（WT）[2]和分数傅里叶变换（FRFT）[3,4]。作为经典傅里叶变换（FT）的泛化，FRFT因其固有的特殊性而吸引了越来越多的关注，事实证明，FRFT可以被看作是一种单频变换[4]。1980年，Namias在量子力学中讨论了分数傅里叶运算的想法。[5]，并于1987年[6]在应用数学界被重新发现。它被Almeida[7]和Santhanam and McClellan[8]引入到信号处理领域。在[9,10]中提出的FRFT的离散和数字计算方法为其在实际情况下的应用打开了大门。随着FRFT的进一步衍生，线性典型变换（LCT）被证明在光学和信号处理中发挥着重要作用，许多与FT相关的概念已经被概括到LCT领域。例如，采样理论[11,12]，特征函数[13]，卷积定理[14,15]，以及光谱分析的

均匀或不均匀的样本[16]，在LCT领域被很好地研究。LCT的离散和数字编译算法在[17,18]中介绍。更多与LCT相关的结果可以参考[3,4]。

同时，线性调频（LFM）信号是一种典型的非稳态信号，被广泛用于通信、雷达和声纳系统中。LFM信号的处理非常重要，因此已经提出了许多算法和方法。与FT相关的模糊函数（AF）是LFM信号处理中最重要的时频工具之一[19,20]。此外，还提出了许多与LFM信号参数估计和频谱分析有关的其他重要和有用的方法，如最小均方误差（MMSE）估计[21]，迭代算法[22]。与de Branges理论相关的广义FT[23]，与FRFT相关的AF[24]，Wigner-Hough变换（WHT）[25]，Chirp FT[26]，Wigner-Ville distribution（WVD）[27]和Raton-ambiguity变换（RAT）[28]。

遵循AF的经典定义，裴文杰和丁文杰[29]首先研究了与LCT相关的AF，并获得了一些重要的特性。最近，Zhao et al. [30]调查的属性和物理意义的AF相关的LCT在光信号处理- ing社区。与[29,30]中对自动对焦的定义不同，本文提出了一种新的与自动对焦有关的定义。

*通信：Li bingzhao@bitedu.cn

北京理工大学数学学院，北京100081，中国

我们还讨论了LCT的主要特性和新定义的AF在LFM信号处理中的应用。

本文的组织结构如下。在 "前言" 部分, 我们首先回顾了LCT的相关理论、经典AF以及之前的研究结果。第二节

"与LCT相关的模糊性功能" 一节, a
我们提出了与LCT相关的AF的新定义。
并介绍了其主要特性和物理意义。

引起的。新定义的AF在LFM信号处理中的应用在 "AFL的应用" 一节中进行了详细研究。讨论 "部分讨论了新定义的AF与其他常见的时间-频率工具的比较, 如RWT、RAT等。在 "模拟" 一节中, 给出了模拟结果, 以显示所提出的技术的合理性和有效性。"结论" 一节是结论。

初步 LCT

一个信号 $f(t)$ 的LCT可以被定义为[3,4]

$$F_{(a,b,c,d)}(u) = L_{(a,b,c,d)}[f(t)](u) \quad (1)$$

$$= \int_{-\infty}^{\infty} \frac{1}{j2\pi b} e^{j\frac{d}{2b}u^2} e^{j\frac{a}{2b}t^2 - j\frac{c}{b}t} f(t) dt \quad (b \neq 0)$$

$$= \int_{-\infty}^{\infty} \sqrt{\frac{j}{2\pi b}} e^{j\frac{d}{2b}u^2} f(du) \quad (b = 0)$$

其中 a, b, c, d 为实数, 并满足 $ad - bc = 1$ 。

很容易验证, 经典的FT、FRFT、啁啾操作和缩放操作都是特殊的

如以下所示, LCT的案例。

当 $(a, b, c, d) = (0, 1, -1, 0)$ 时, LCT成为FT。

$$L_{(0,1,-1,0)}[f(t)](u) = \sqrt{j} \text{FT}[f(t)](u) \quad (2)$$

当 $(a, b, c, d) = (\cos \theta, \sin \theta, -\sin \theta, \cos \theta)$ 时, LCT成为FRFT。

$L_{(\cos \theta, \sin \theta, -\sin \theta, \cos \theta)}[f(t)](u) = \sqrt{e^{-j\alpha}} F_{\alpha}[f(t)](u) \quad (3)$
当 $(a, b, c, d) = (1, 0, \tau, 1)$ 时, LCT变成了啁啾声。

操作。

$$L_{(1,0,\tau,1)}[f(t)](u) = e^{\frac{j}{2}\tau u^2} f(u) \quad (4)$$

当 $(a, b, c, d) = (\sigma, 0, 0, \sigma^{-1})$ 时, LCT成为缩放操作。

$$L_{(\sigma,0,0,\sigma^{-1})}[f(t)](u) = \sqrt{\sigma} f(\sigma^{-1}u) \quad (5)$$

许多关于LCT的有用属性[3,4]表明LCT是最重要的非平稳信号处理工具之一, 以下是加法性属性和和

本文将使用与LCT相关的可逆性属性。

(1) 可加性属性

$$L_{(a_2,b_2,c_2,d_2)}[L_{(a_1,b_1,c_1,d_1)}[f(t)](u)](u) = L_{(a_3,b_3,c_3,d_3)}[f(t)](u) \quad (6)$$

其中

$$\begin{pmatrix} a_3 & b_3 \\ c_3 & d_3 \end{pmatrix} = \begin{pmatrix} a_2 & b_2 \\ c_2 & d_2 \end{pmatrix} \begin{pmatrix} a_1 & b_1 \\ c_1 & d_1 \end{pmatrix}$$

(2) 可逆性属性

$$L_{(d,-b,-c,a)}[L_{(a,b,c,d)}[f(t)](u)](t) = f(t) \quad (7)$$

因为LCT可以被看作是经典傅里叶和分数FT的泛化, 所以它可以扩展它们的功用和应用, 并解决一些超出这些操作的问题[31]。在不影响通用性的前提下, 我们在本文中只考虑 $b \neq 0$ 的情况, 因为当 $b = 0$ 时, LCT只是一个缩放变换操作。关于LCT的更多属性与其他变换的关系, 可以参考[3,4]。

随着现代信号处理技术的快速发展, 经典的概念和理论也在不断变化。在FT领域中, 已经广泛地研究了

LCT领域, 例如, 均匀和非均匀的采样理论[32-34], 卷积和乘积

定理[14,15], 不确定性原理[35-37]在LCT领域得到了充分的研究和调查。

含糊性功能 (AF)。

信号的瞬时自相关函数

$f(t)$ 被定义为。

$$R_f(t, \tau) = f(t + \frac{\tau}{2}) f^*(t - \frac{\tau}{2}) \quad (8)$$

而与 $f(t)$ 的FT相关的经典AF被定义为 $R_f(t, \tau)$ 对 t 的FT。

$$AF_f(\tau, u) = \int_{-\infty}^{\infty} R_f(t, \tau) e^{-j\tau u} dt \quad (9)$$

或者在FT领域可以等价地定义为：

$$AF_f(\tau, u) = \int_{-\infty}^{\infty} F_p + \frac{u}{2} F_p - \frac{u}{2} e^{-j\tau p} dp \quad (10)$$

其中 $F(p)$ 是信号 $f(t)$ 的FT。

经典AF的属性可以列举如下

$$AF(\tau, u) = AF^*(-\tau, -u) \quad (11)$$

$$AF(0, 0) = \int_{-\infty}^{\infty} |f(t)|^2 dt \quad (12)$$

$$\frac{1}{2\pi} \int_{-\infty}^{\infty} \int_{-\infty}^{\infty} AF_x(\tau, u) AF_z(\tau, u) d\tau du = | \langle x, z \rangle |_2 \quad (13)$$

AF是经典的、重要的时频信号处理工具之一。在[28]中显示, LFM信号的AF通过环境平面 (τ, u) 的原点, 而投影线的斜率是信号的频率率。所有这些AF的特性可以帮助我们LFM信号处理和参数估计中获得良好的结果。

先前的研究成果

基于LCT的特性和与FT相关的AF的定义, Pei和Ding[29]以及Zhao等[30]提出了与LCT相关的AF的两个不同的定义, 具体如下。

定义1: 假设参数为 (a, b, c, d) 的信号 $f(t)$ 的LCT是 $F(a, b, c, d)(u)$, 那么与LCT相关的AF被定义为[29]。

$$AFF_{(a,b,c,d)}(\tau, u) = \int_{-\infty}^{\infty} F_{(a,b,c,d)}(v) + \frac{\tau}{2} F_{(a,b,c,d)}(v) \quad (14)$$

在[29]中表明, 这种AF的定义具有

以下属性

$$AFF_{(a,b,c,d)}(\tau, u) = AF(d\tau - bu, -c\tau + au) \quad (15)$$

$$AF_{(a,b,c,d)}(a\tau + bu, c\tau + du) = AF(\tau, u) \quad (16)$$

其中 $AF(\tau, u)$ 和 $AFF(\tau, u)$ 代表 $f(t)$ 的AF和

$F_{(a,b,c,d)}(v)$, 分别为。

定义2: 假设参数为 (a, b, c, d) 的信号 $f(t)$ 的LCT是 $F(a, b, c, d)(v)$, 那么线性加农炮 (LCAF) 被定义为[30]。

$$AFM(\tau, u) = \int_{-\infty}^{\infty} F_{(a,b,c,d)}(v) + \frac{\tau}{2} F_{(a,b,c,d)}(v) \quad (17)$$

在[30]中表明, 这种AF的定义具有以下特性

$$AFM(\tau, u) = AF(b\tau + du, -a\tau - cu) \quad (18)$$

$$AFM(-u, \tau) = AF(d\tau - bu, -c\tau + au) \quad (19)$$

与LCT相关的那些种类的AF的其他属性和物理含义, 也在[29,30]中进行了详细研究。

很容易看出, 广义的AF由以下几个方面来定义方程 (14) 和 (17) 是瞬时的FT LCT信号的自相关函数。它们实际上是

传统AF的线性坐标转换在

在FT领域。与[29,30]中的定义不同, 我们在本文中定义了一种与LCT相关的新的AF, 以及新定义的AF在LFM信号中的应用。

以下各节也将对加工过程进行调查。

与LCT有关的房颤

与LCT相关的AF的新定义

从数学的角度来看, 信号处理界的许多变换可以被看作是信号与核函数的乘积。它们也可以分为两种定义: (1) 信号的局部形式与核函数的乘积, 如STFT、WVD等; (2) 信号与局部核函数的乘积, 如WT、Gabor变换等。

不难看出, [29,30]中的广义AF是基于原始信号的局部变换。首先获得原始信号的LCT, 然后应用传统的AF定义, 这可以被认为是 first 种的定义。与他们的定义不同, 我们支持提出了一个与LCT相关的AF的新定义遵循第二种定义。

定义3: 与LCT相关的信号 $f(t)$ 的AF, 其参数 $A = (a, b, c, d)$ 被定义为

$$AFL[f(t)](\tau, u) = \quad (\tau, u) \quad AF_{(a,b,c,d)} \quad (20)$$

$$= \int_{-\infty}^{\infty} R_f(t, \tau) K_A(t, u) dt$$

$$\text{其中 } K_A(t, u) = \frac{1}{2\pi} \int_{-\infty}^{\infty} e^{j\frac{a}{2b}t^2 - j\frac{u}{b}t} R_f(t, \tau) dt = f(t + \frac{\tau}{2}) f^*(t - \frac{\tau}{2})$$

从定义和物理意义上来说

LCT[3,4], 这种AF可以被解释为瞬时自相关函数 $R_f(t, \tau)$ 在 (τ, u) 平面内的symplectic变换。为了使其具有差异性

从现有的与LCT相关的定义来看, 我们表示一个信号 $f(t)$ 的AF, 由公式(20)所定义, 具有以下特点 $AF_{(a,b,c,d)}(\tau, u)$, 并简化为AFL, 如下所示

新定义的AFL的属性

如果一个信号 $f(t)$ 的AFL表示为 $AF_{(a,b,c,d)}(\tau, u)$, 那么很容易表明AFL具有以下特性。

共轭属性

$f^*(t)$ 的AFL是 $[AF_{(a,-b,-c,d)}(\tau, u)]^*$, $f(-t)$ 的AFL是 $[AF_{(a,b,-c,d)}(\tau, -u)]^*$; 并且 $f^*(-t)$ 的AFL是 $AF_{(a,b,c,d)}(\tau, -u)$ 。

转移财产

$f(t-p)$ 的AFL是 $e^{-j\frac{a}{2b}p^2 + j\frac{u}{b}p} AF_{(a,b,c,d)}(\tau, u - pa)$ 。
 $f(t)e^{j\omega t}$ 的AFL是 $e^{j\omega\tau} AF_{(a,b,c,d)}(\tau, u)$, 而
 $f(t)e^{j\omega t^2}$ 是 $e^{-j\frac{a}{2b}\omega^2} AF_{(a,b,c,d)}(\tau, u - 2\omega\tau)$ 。

有限的支持

如果 $f(t)=0, t \in [t, t], (a,b,c,d)(\tau, u)=0, \tau > 2-t.1$

反衍生性财产

信号 $f(t)$ 可以由 $f(t)$ 的AFL通过以下公式表示。

$$f(t) = \frac{1}{f^*(0)} \int_{-\infty}^{\infty} A F_{(a,b,c,d)}(t, u) K A^{-1} \frac{\bar{t}}{2}, u \, du.$$

特殊情况

当 $(a, b, c, d) = (0, 1, -1, 0)$ 时, AFL就变成了classical。医学上的房

$$AF_{(0,1,-1,0)}(\tau, u) = \sqrt{-j} \overline{AF}(\tau, u).$$

当 $(a, b, c, d) = (\cos \theta, \sin \theta, -\sin \theta, \cos \theta)$ 时, AFL 成为

与FRFT($AF(\tau, u)$)相关的AF, $AF(\tau, u) = \int_{-\infty}^{\infty} \int_{-\infty}^{\infty} AF(\tau, u) e^{-j\alpha} \alpha^{\alpha} (\cos \theta, \sin \theta, -\sin \theta, \cos \theta) du d\tau$ 。

Energy in time-domain

$$\int_{-\infty}^{\infty} |f(t)|^2 dt = \sqrt{j2} \frac{\pi A F}{(0,1,-1,0)(0,0)}.$$

对称性

$$|AF_{(a,b,c,d)}(-\tau, -u)| = |AF_{(-a,b,c,-d)}(\tau, u)|$$

对FM信号的灵敏度

LFM信号 $f(t) = e^{j(w_0 t + m_0 t^2)}$ 的AFL是

$$AF_{(a,b,c,d)}(\tau, u) = \left| \frac{e^{j \left(\frac{d}{2b} u^2 + w_0 \tau - \frac{(m_0 \tau - u/b)^2}{2ab} \right)}}{j \left(\frac{d}{2b} u^2 + w_0 \tau - \frac{(m_0 \tau - u/b)^2}{2ab} \right)} \right| \frac{1}{a} \frac{a}{2b} = 0 \quad (21)$$

其中 w_0 , m_0 分别代表 $f(t)$ 的初始频率和频率率。

证明。 从AFL的定义中，我们可以得到

[illegible]

$$\frac{a}{2b} = 0 = \frac{1}{j^{d+2}} e^{j^{\frac{a}{2b}} t + \frac{a}{2b} \tau} \int_0^\infty e^{-j^{\frac{a}{2b}} t + \frac{a}{2b} \tau - u/b} dt$$

从公式 (21) 中我们可以看出, 当参数满足特殊条件时, $f(t)$ 的 AFL 将在 (τ, u) 平面上产生一个脉冲。当信号是有限的, 由于能量的积累, 也会有一个波峰。LFM 信号的 AFL 将通过含糊不清的原点平面 (τ, u) , 而投影线的斜率为 b 倍。频率。 \square

AFL和STFT之间的关系

假设信号 $f(t)$ 的STFT被定义为

$$STFT^w(t, u) = \int_{-\infty}^{\infty} f(p)w^*(p - t)e^{-i\tilde{A}\tilde{A}\tilde{A}\tilde{A}} dp_{\circ}$$

那么下面的定理1反映了AFL和信号 $f(t)$ 的STFT之间的关系

定理1. 参数为 (a, b, c, d) 的信号 $f(t)$ 的AFL

可以看作是信号 $f(t)$ 的STFT, $w(t) = f(t) e^{j2\pi b t}$ 。

$$AF_{(a,b,c,d)}(\tau, u) \frac{1}{j\partial\tau} e^{j[\frac{d}{2b}u^2 - \frac{a}{2b}\frac{3}{4}\tau^2 + \frac{u\tau}{2b}]} STFT^w \quad (22)$$

$$\tau = \frac{2u - a\tau}{2b}$$

证明

$$\begin{aligned} & \text{AF}_{(a,b,c,d)}(\tau,u) \\ &= \int_{-\infty}^{\infty} \frac{1}{i2b} e^{j\frac{d}{2b}u^2} f(t + \frac{\tau}{2})^* \\ & \quad \times \int_{-\infty}^{\infty} \frac{1}{2} e^{j\frac{a}{2b}t^2 - j\frac{u}{b}t} \bar{b} dt \\ &= \frac{1}{i2b} e^{j\frac{d}{2b}u^2} f(p)f^* \\ & \quad \times \int_{-\infty}^{\infty} \frac{e^{j\frac{a}{2b}(p-\tau+T/2)^2 - j\frac{u(p-\tau/2)}{b}}}{1} dp \\ &= \frac{1}{j2\pi b} e^{j[\frac{d}{2b}u^2 - \frac{a}{2b}\frac{3T^2}{4} + \frac{uT}{b}]} f(p)f^* \\ & \quad \times (p-\tau)e^{\frac{j}{2b}a(p-\tau)^2} e^{j(\frac{a}{2b}p\tau - \frac{up}{b})} dp \end{aligned}$$

$$\begin{aligned} &= \frac{1}{2\pi b} \int_{-\infty}^{\infty} \int_{-\infty}^{\infty} \frac{e^{j(u^2 - a^2 \tau^2 + u\tau)}}{2b^4} \frac{1}{2b} f(p) f^* \\ &\quad \times e^{j\frac{2b}{a} (p - \frac{a^2}{2b} \tau - j(u - a\tau))} dp \\ &= \frac{1}{2\pi b} \int_{-\infty}^{\infty} \frac{e^{j(u^2 - a^2 \tau^2 + u\tau)}}{2b^4} \frac{1}{2b} \text{STFT} \\ &\quad \times \tau \frac{2u - a\tau}{2b} \end{aligned}$$

□

AFL的应用

为了显示新定义的AFL在以下方面的有效性

在本节中，我们将把AFL应用于LFM信号的分析 and 参数检测。遵循经典的LFM信号检测方法[26-28]。

本文提出的检测器是通过结合新定义的AFL和拉登变换 (RT) 获得的，以便

为了使这种方法与传统方法不同，它被称为 "AFL与RT相结合"，并被简化为RAFL。

探测器

RT通常用于计算机断层扫描中的图像重建，其定义为

$$R_{s,\phi}(f(x, y)) = \int_{-\infty}^{\infty} \int_{-\infty}^{\infty} f(x, y) \delta(x \sin j + y \cos j - s) dx dy$$

对于 $-\infty < s < \infty$, $-\pi/2 < j < \pi/2$ ，其中 δ 函数指明整合的方向， s 是原点与 X - Y 平面内某条线的距离， j 是 X - Y 平面内某条线的角度。

线，和 X 轴。
从对 LFM 信号的 AFL 分析中，我们知道感兴趣的方向通过环境的原则。

如果我们把 $s = 0$ 的 RT 的参数设置为 phase-free AFL of Equation (20), then the detection of signal 可以从二维搜索问题减少到一维搜索

问题。由公式 (21) 可知，AFL 的斜率值是 LFM 信号啁啾率的 b 倍，因此，它的关键在于

在模糊平面内，为了实现能量的累积，首先要计算沿直线的线段积分，其方向由三角函数 $\delta(u - bm\tau)$ 来规定。

在 [27] 中，作者使用 AF 的平方模作为适用于 RT 的函数，作为检测器。沿着这个思路，我们使用 AFL 的平方模数作为函数。

在我们的文章中，将 RT 作为检测器应用于其中。根据上面的讨论，和 "RT" 相关的检测器是指新定义的 AFL 被定义为以下形式。

$$\eta(m) = \int_{-\infty}^{\infty} \int_{-\infty}^{\infty} |AF_{(a,b,c,d)}(\tau, u)|^2 \delta(u - bm\tau) d\tau du \quad (23)$$

探测器 $\eta(m)$ 可以用来实现能量的积累。

从方程 (21) 中可以看出

$$\begin{aligned} \frac{a}{2b} &= 0, \quad \eta(m) = \int_{-\infty}^{\infty} \int_{-\infty}^{\infty} \frac{1}{2\pi b} e^{j\frac{(u+w)^2}{d^2} + j\frac{u^2}{d^2}} \delta(u - m\tau) \frac{1}{2b} \\ &\quad \times (u - bm\tau) d\tau du \\ &= \frac{1}{2\pi b} \int_{-\infty}^{\infty} \int_{-\infty}^{\infty} e^{j\frac{(u+w)^2}{d^2} + j\frac{u^2}{d^2}} \delta(u - m\tau) \frac{1}{2b} \\ &\quad \times (u - bm\tau) d\tau du \end{aligned} \quad (24)$$

$$\begin{aligned} \frac{a}{2b} &= 0, \quad \eta(m) = \int_{-\infty}^{\infty} \int_{-\infty}^{\infty} \frac{1}{a} e^{j\frac{(u+w)^2}{d^2} + j\frac{u^2}{d^2}} e^{-j\frac{u^2}{2b}} \frac{1}{2b} \delta(u - m\tau) \\ &\quad \times (u - bm\tau) d\tau du \\ &= \frac{1}{a} \int_{-\infty}^{\infty} \int_{-\infty}^{\infty} e^{j\frac{(u+w)^2}{d^2} + j\frac{u^2}{d^2}} e^{-j\frac{u^2}{2b}} \delta(u - m\tau) \\ &\quad \times (u - bm\tau) d\tau du \end{aligned} \quad (25)$$

从公式 (24) 和 (25) 可以看出，当 $m \rightarrow m_0$, $\eta(m) \rightarrow \infty$ 。因此，可以通过计算 $\eta(m)$ 并与阈值相比较来检测信号。

检测 LFM 信号

一个组件 LFM

假设信号 $f(t)$ 的模型如下，并具有单位伴随着时间长度 T 的能量。

$$f(t) = \frac{1}{\sqrt{T}} e^{j(\omega_0 t + \frac{m_0 t^2}{2})} \quad |t| < \frac{T}{2}$$

我们可以通过 AFL 的定义得到 $f(t)$ 的 AFL 模数

$$\begin{aligned} |AF_{(a,b,c,d)}(\tau, u)| &= \int_{-\infty}^{\infty} \int_{-\infty}^{\infty} \frac{1}{2\pi b} \sin\left(\frac{u - bm_0\tau}{a} - \frac{(u - bm_0\tau)^2}{2b}\right) \delta(u - bm\tau) \\ &\quad \times (u - bm\tau) d\tau du \end{aligned} \quad (26)$$

当 $a=0$ 时，我们可以得到检测器的解析解

$$\begin{aligned} \eta(m) &= \int_{-\infty}^{\infty} \int_{-\infty}^{\infty} |AF_{(a,b,c,d)}(\tau, u)|^2 \delta(u - bm\tau) d\tau du \\ &= \frac{2}{T^3} \int_{-\infty}^{\infty} \int_{-\infty}^{\infty} \sin^2\left(\frac{(m - m_0)\tau T/2}{a}\right) \delta(u - bm\tau) d\tau du \end{aligned} \quad (27)$$

方程 (27) 中积分前面的系数 efficient 是为归一化目的而添加的。当 $m = m_0$ ，方程

(27) 得出

$$\eta(m_0) = T_0^{-2} \int_0^T \boldsymbol{x}^2 dt = \pi b$$

页码 6 的 16

(28)

对于 $m > m_0$, 让 $(m - m_0)/2 = p$, 因此, 方程 (27) 表示为

$$\eta(2p + m_0) = \frac{1}{2\pi b T} \int_{-T/2}^T \frac{2 \sin^2 [p\tau T]}{(p\tau)^2} d\tau \quad (29)$$

$$= \frac{1}{2\pi b} \int_0^{pT^2} \frac{2 \sin^2(x)}{x^2} dx$$

$$+ \frac{2}{T^3} \int_{T/2}^T \frac{\sin^2(p\tau T)}{(p\tau)^2} d\tau$$

它在[38]中表明, 以下特性成立。

$$\int_{x^2}^{\sin^2(x)} dx = si(2x) - \frac{\sin^2(x)}{x} \quad (30)$$

其中

$$si(x) = \int_0^x \frac{\sin(t)}{t} dt.$$

将公式 (30) 代入公式 (29), 并使用以下不等式

$$\int_{T/2}^T \frac{\sin^2(p\tau T)}{(p\tau)^2} d\tau < \frac{1}{p^2} \int_{T/2}^T \frac{1}{\tau^2} d\tau = \frac{1}{p2T}$$

方程 (29) 可以被改写为

$$\eta(2p+m_0) < \frac{1}{2\pi b p T} si(pT^2) - \frac{2}{pT} \frac{1}{p^2} + \frac{1}{pT}$$

By letting $2p + m_0 = m$, we obtain

$$\eta(m) < \frac{2}{\pi b(m - m_0)^2} si \left(\frac{(m - m_0)T^2}{2} \right) + \frac{2}{(m - m_0)T^2} \cos \left(\frac{(m - m_0)T^2}{2} \right) \quad (31)$$

因此, 一个分量信号的检测器 $\eta(m)$ 已经被得出, 方程 (31) 给出了检测结果的上界。

对于 $m \geq m_0$, 而 $\eta(m + m_0)$ 可通过以下方式估计

$\eta(m) = \eta(2m_0 - m)$ 对于 $m < m_0$ 。然而, 当 $a \neq 0$ 时, 我们可以

不再期待 $\eta(m)$ 的解析解, 必须使用数值方法。

基于这些结果, 我们可以通过计算检测器 $\eta(m)$ 来检测 LFM 信号。拟议的检测器在 LFM 信号的啁啾率上产生最大值。当 T 是有限的。

$\eta(m)$ 有一个波峰, 否则 $\eta(m)$ 就会变成 delta 函数, 即以前讨论过。

多组份 LFM

双分量信号被建模为

$$f(t) = \frac{1}{\sqrt{T}} e^{j(w_0 t + \frac{m_0 t^2}{2})} + \frac{1}{\sqrt{T}} e^{j(w_1 t + \frac{m_1 t^2}{2})} \quad (|t| < \frac{T}{2})$$

为简单起见, 假设 $w_0 = w_1$, $m_0 > m_1$ 。 $f(t)$ 的 AFL 可以被推导为

$$AF_{(a,b,c,d)}(\tau, u) = \begin{cases} \frac{\sin[(m_0 \tau - u/b)T/2]}{(m_0 \tau - u/b)T/2} \frac{1}{2\pi b} \frac{\sin[(m_1 \tau - u/b)T/2]}{(m_1 \tau - u/b)T/2} \\ \times \left[\frac{j}{2\pi b} + \frac{2j}{T} \frac{\pi}{2\pi m_0 - m_1} \right] (|\tau| \leq T) \\ \{ [C(X_0) + C(X_1)] \cos(a\tau) + [S(X_0) + S(X_1)] \sin(a\tau) \} (a \neq 0) \\ 0 \quad (|\tau| > T) \end{cases} \quad (32)$$

where $C(x) = \int_0^x \cos(\frac{\pi t^2}{2}) dt$ and $S(x) = \int_0^x \sin(\frac{\pi t^2}{2}) dt$ are Fresnel 积分, 以及其他参数, 如 X_0, X_1 与 [28] 中相同。

方程 (32) 中的前两个条款代表了自动条款。

的信号, 而其余的是交叉项。当 $a \neq 0$ 时。

我们无法得到 AFL 的解析解。与 [28] 中的情况类似, 我们不能再期待一个分析解了

的 $\eta(m)$, 因为 AFL 的方程相当复杂, 例如, 包括 $C(X_0), C(X_1), S(X_0), S(X_1)$ 。在模拟

仿真部分, 我们将给出检测器的性能。用数字方法来验证 LFM 信号的检测。

检测二次调频 (QFM) 信号

非线性调频信号在自然界和人类应用中得到了广泛的应用。

例如, 三次和四次调频信号是

应用于定位蝙蝠声纳系统中的回声。由于非线性调频信号被用于各种学科, 必须要有

通过新定义的 AFL 对他们进行调查。

QFM 信号被定义为 $f(t) = A e^{j(a t + a_1 t^2 + a_3 t^3)}$, $f(t)$ 的 AFL 得到的是

$$AF_{(a,b,c,d)}(\tau, u) = \begin{cases} \frac{1}{j} A e^{-2\pi j b \tau} \int_{-T/2}^{T/2} j^{d u^2 + a \tau + a_3 \tau^3} j^{(2a_2 \tau - u/b)} \\ \times (3a \tau + \frac{a}{2b}) \\ \frac{1}{6a_3 b \tau} A 2e^{-\frac{j}{2b} (d u^2 + a \tau + a_3 \tau^3)} j^{(2a_2 \tau - u/b)} \\ \times (3a_3 \tau + \frac{a}{2b}) \end{cases} \quad (33)$$

证明

$$AF_{(a,b,c,d)}(\tau, u) = \frac{1}{2\pi b} \int_{-T/2}^{T/2} e^{j(d u^2 + a \tau + a_3 \tau^3)} e^{j(2a_2 \tau - u/b)} \times \frac{j^{a_2 \tau^2}}{b} d\tau = \frac{1}{2\pi b} \int_{-T/2}^{T/2} A e^{j(d u^2 + a \tau + a_3 \tau^3)} e^{j(2a_2 \tau - u/b)} \times \frac{j^{a_2 \tau^2}}{b} d\tau$$

$$\frac{dt}{dt} \quad (|t| > \frac{T_2}{2})$$

$$\times \quad \frac{j3a_3\tau + 2b_1t + j2a_2\tau - b_2t + ja_1\tau + a_3}{- \infty}$$

Hough变换最初是为获取直线而提出的，但后来被推广到任何图形。尽管WVD产生了交叉项，但WVD与HT相结合的方法已被应用于啁啾信号的检测和参数估计，包括多分量信号。WHT可以解释为[17]中WVD的线积分。

$$\begin{aligned} \text{WHT}(f, g) &= \int_{-\infty}^{\infty} \int_{-\infty}^{\infty} \text{WVD}(t, \nu) \delta(\nu - f - g) dt d\nu \\ &= \int_{-\infty}^{\infty} \text{WVD}(t, f + g) dt \end{aligned} \quad (38)$$

或者说，一个信号的WHT可以被看作是AF的FT。

$$\text{WHT}(f, g) = \int_{-\infty}^{\infty} \text{AF}(\tau, g) e^{-j2\pi f\tau} d\tau \quad (39)$$

事实上，我们很容易发现，WHT等同于RWT和RAT，所以RAFL可以被看作是WHT的一个概括。信号的WHT会在终域产生峰值，其坐标为相位参数 f_0 和 g_0 。在平面 (f, g) 上，如果有一个峰值超过阈值，就决定了啁啾声的存在。WHT是一个很好的信号检测工具，即使在嵌入噪声的环境中。

WVD与HT相结合，为信号和图像处理提供了一座桥梁。然而，与AFL相比，WHT需要大量的计算。

FRFT

FRFT实际上是一种单一的时频变换。随着阶数从0增加到1，FRFT可以揭示出

逐渐变化的信号的特征，从时间频域。与通常的二次元时间不同

它以单一变量揭示了时间-频率特征，并且不受交叉术语的影响。与传统的FT相比，FRFT在非平稳信号的处理中表现得更好，特别是在类似啁啾的信号处理中。此外，一个额外的自由度（阶）有时可能有助于获得比通常的时频分布或FT更好的性能。而其开发的快速算法导致计算负荷小，性能好。

信号 $f(t)$ 的FRFT是。

$$F^a[f(t)] = F_f(\alpha, u) = \int_{-\infty}^{\infty} K_a(t, u) f(t) dt \quad (40)$$

与

$$K_a(t, u) = \frac{1}{2\pi} \frac{e^{j(u^2/2 \cot \alpha - ut \csc \alpha + t^2/2 \cot \alpha)}}{1 - \cot \alpha} \quad (\alpha \neq 0)$$

正如我们所知，在二维 $F_f(\alpha, u)$ 中会有最大值，其坐标 (α, u) 对应于初始频率和啁啾率。

$$\begin{aligned} m &= -\cot \alpha \\ w_0 &= u / \sin \alpha \end{aligned} \quad (41)$$

RWT可以通过去啁啾来计算。

$$\text{RWT}(u, \alpha) = \frac{1}{| \sin \alpha |} \int_{-\infty}^{\infty} f(t) e^{-j(w_0 t + m^2/2)} dt \quad (42)$$

$m = -\cot \alpha$
 $w_0 = u / \sin \alpha$

以及FRFT的平方。

$$|F_x(\alpha, u)|^2 = \frac{1}{2\pi \sin \alpha} \int_{-\infty}^{\infty} e^{j(-ut \csc \alpha + t^2/2 \cot \alpha)} dt \quad (43)$$

从公式（42）和公式（43），我们得到

$$\text{RWT}(u, \alpha) = \alpha \pi |F_x(\alpha, u)|^2 \quad (44)$$

这就是说，FRFT等同于RWT。

模拟

为了验证本文的推导结果，并显示AFL在LFM信号检测中的优势，模拟了

本节中进行了模拟。从这些模拟中不难看出，AFL在检测LFM信号方面比传统的有更好的性能。

LFM信号的检测 单分量LFM信号的检测单

分量LFM信号被定义为

$$f(t) = \frac{1}{\sqrt{T}} e^{j(w_0 t + m_0 t^2/2)} \quad |t| < \frac{T}{2}$$

参数选择为： $T = 40s$, $w_0 = 0.1rad/s$,
 $m_0 = 0.4rad/s^2$ 。 $f(t)$ 的|AFL|可以计算为

$$\begin{aligned} |AF_{(a,b,c,d)}(\tau, u)| &= \begin{cases} \frac{\sin[(u/b - m_0 \tau - T/2)]}{(u/b - m_0 \tau)T/2} & (a = 0) \\ \frac{1}{2\pi} \int_{-T/2}^T e^{j(a t^2/2 + (m_0 \tau - u/b)t)} dt & (a \neq 0) \end{cases} \end{aligned}$$

对 $(a, b, c, d) = (0, 2, -1/2, 1)$ 的单分量LFM信号进行检测。 $(a, b, c, d)(\tau, u)$ 的轮廓部分和检测器 $\eta(m)$ 分别绘制在图1a,b中。

从图1a可以看出，AFL通过AFL平面的原点，投影线的斜度为 $b * m_0$ ，这与前面讨论的相同。图1b显示了检测器 $\eta(m)$ 的值和上界。在啁啾率 m_0 附近有一个峰值，如前文所述。因此，我们可以根据RAFL来检测LFM信号。

多分量LFM信号的检测

假设 p 分量的信号定义如下

$$f(t) = \begin{cases} \frac{1}{\sqrt{T}} e^{j(w_0 t + m^2/2)} & (|t| < \frac{T}{2}) \\ 0 & (|t| > \frac{T}{2}) \end{cases} \quad (45)$$

图2显示了 $T=40s$ 和不同参数的多分量LFM信号的检测器 $\eta(m)$ 。从图2中可以看出，该检测器可用于检测多组分LFM信号。

对不等幅的LFM信号进行处理。

多分量LFM信号的检测 多分量LFM信号的时频分析将产生交叉项。抑制交叉项是一个重要的

在信号处理中的问题。人们提出了两种方法来解决这个问题：核函数filter和AF中的filter。

域。前者是根据目标得出的一些约束条件设计一个内核函数，后者是利用

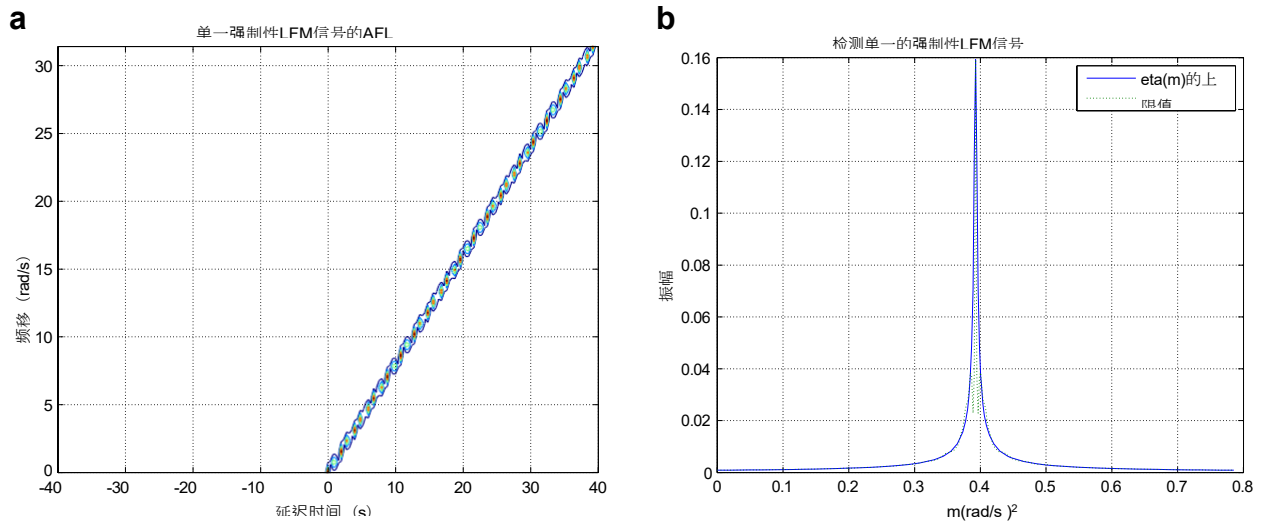


图1 对单分量LFM信号的检测, $(a, b, c, d) = (0, 2, -1/2, 1)$ 。

AF的独特属性。本文提出的AFL有三个额外的自由,即表征LCT的参数,这将使AFL在分析信号和交叉项抑制方面更具吸引力。

图3显示了在 $T=40\text{s}$ 的情况下,非常接近啁啾率的LFM信号的检测结果。分辨率,这是一个测量分离两个啁啾信号能力的参数。在这个模拟中,分辨率被定义为在无噪音环境下解决两个同样强的LFM信号的最小啁啾率分离。通过计算机模拟,试验信号的长度 T 范围从10到100。

60s,我们得到的分辨率约为 b/T^2 。

图3显示了 $T=40\text{s}$ 的 $\eta(m)$ 的临界分辨率情况。它揭示了分辨率与信号长度 T 的平方成正比。如前所述,RAFL是RAT的一个概括,啁啾率分辨率与[28]中的RAT一致,即 $1/T^2$ 级。信号长度必须大于 $b/6$ 才能达到啁啾率分辨率6。

检测有噪音的LFM信号

带有噪声的单组分LFM信号被定义为

$$f(t) = \frac{1}{\sqrt{2\pi}} e^{j(\omega_0 t + m_0 t^2)} + n(t) \quad |t| < \frac{T}{2}$$

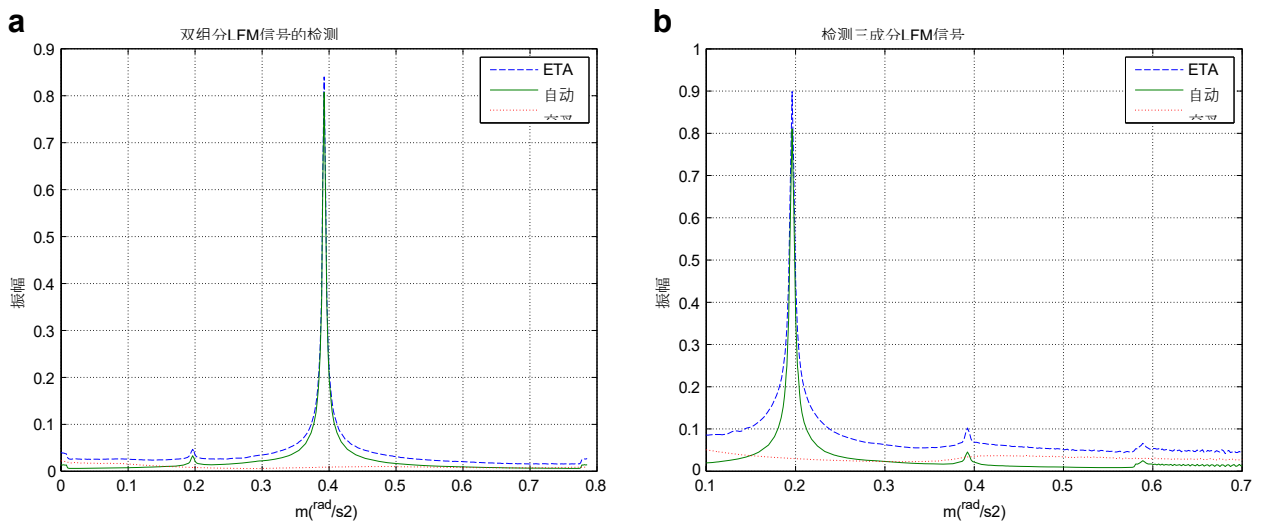
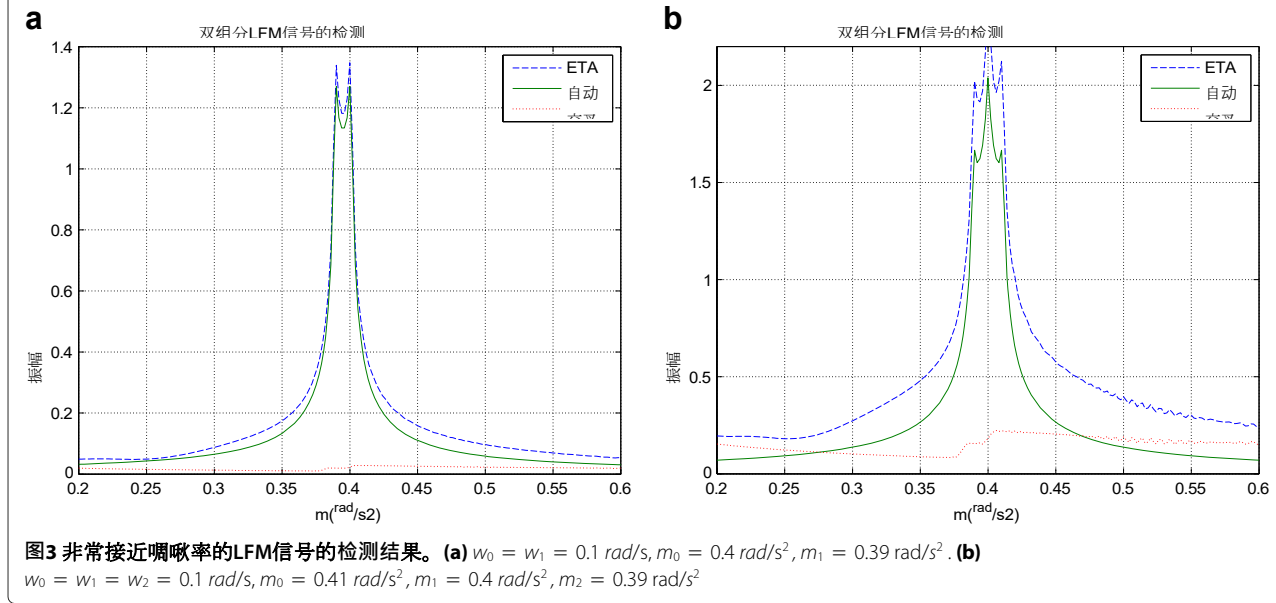


图2 多分量LFM信号的检测器 $\eta(m)$, $T=40\text{s}$, 不同的参数。(a) 双分量LFM信号的 $\eta(m)$ 信号, 一个分量的振幅是另一个分量的十分之一。 $(a, b, c, d) = (1/32, 16, -1/32, 16)$, $w_0 = w_1 = 0.1 \text{ rad/s}$, $m_0 = 0.4 \text{ rad/s}^2$, $m_1 = 0.2 \text{ rad/s}^2$ 。(b) 具有不同振幅的三分量信号的 $\eta(m)$ 。 $(a, b, c, d) = (1/32, 32, -1/64, 16)$, $w_0 = w_1 = w_2 = 0.1 \text{ rad/s}$, $m_0 = 0.2 \text{ rad/s}^2$, $m_1 = 0.4 \text{ rad/s}^2$, $m_2 = 0.6 \text{ rad/s}^2$



其中 $n(t)$ 被假定为零均值的白高斯噪声，方差 σ^2 。

Of course, the p -component LFM signal embedded in noise is defined as

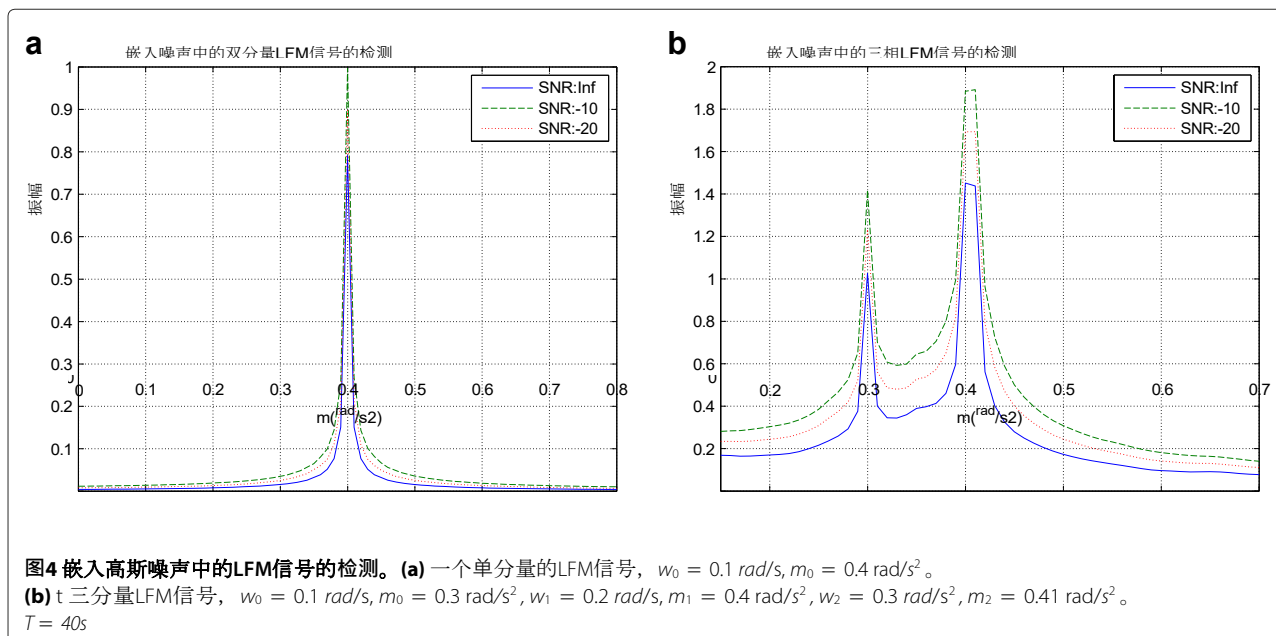
$$f(t) = \sum_{i=0}^p \frac{1}{\sqrt{T}} e^{j(\omega_i t + \frac{1}{2} m_i t^2)} + n(t) \quad |t| < \frac{T}{2}$$

检测器的输出如图4所示，信噪比分别为 ∞ 、-10和-20dB。从图4可以看出，在强噪声背景下，检测器显示了三分量LFM信号的存在，其中 m_1 和 m_2 非常接近。这些模拟验证了所提出的检测器的eff效性。

不同时频工具检测器的比较 在本节中，我们将以铅长度的LFM信号为例，对不同的检测器进行比较。时间-频率工具。图5绘制了比较结果

在公式 (42) 中，LFM信号的普通探测器中， $T = 40s$, $w_0 = w_1 = 0.1 \text{ rad/s}$, $m_0 = 0.2 \text{ rad/s}^2, m_1 = 0.4 \text{ rad/s}^2$.

从图5a中可以看出，RWT可以检测到啁啾率附近的两个峰值的LFM信号。RWT的结果是通过将RWT应用于LFM信号，然后计算沿直线的线段积分，其方向由delta函数 $\delta(u - bmr - w_0)$ 确定。



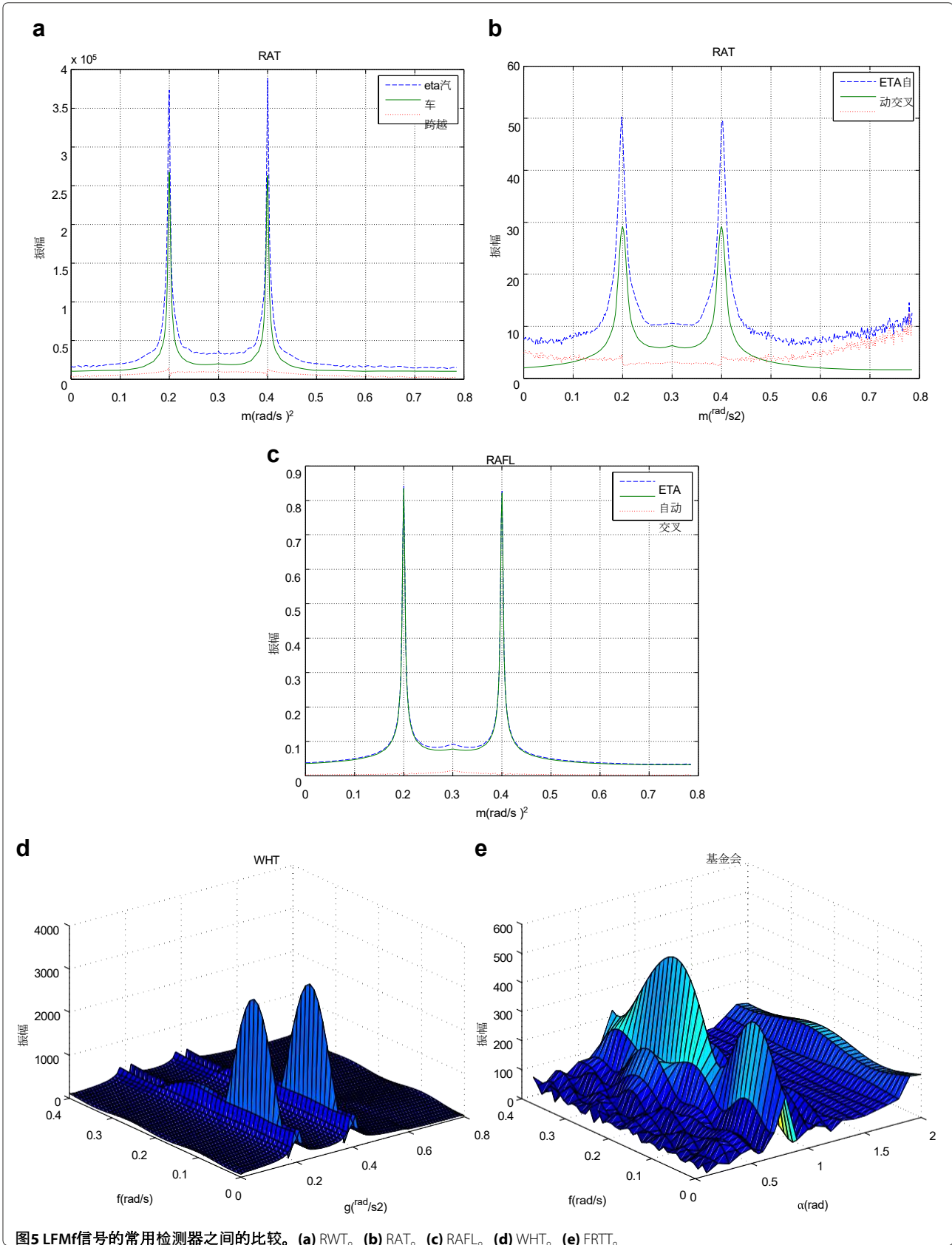


图5 LFMf信号的常用检测器之间的比较。(a) RWT。(b) RAT。(c) RAFL。(d) WHT。(e) FRIT。

然而, 当 $w_0 \neq w_1$, 问题将是一个二维搜索问题。

从图5b中我们可以看到, RAT是一个好的但是, 交叉项仍然很严重, 而且交叉项会干扰自动项。在图5d中, LFM信号的WHT可以在平面上形成峰值, 而峰值的坐标对应于参数。但计算量非常大, 而且它不是

因此, 明显发现尖锐的峰值, 这是WHT的缺陷。LFM信号的FRFT显示了时间频率的变化。焦点在特殊订单。探测和参数测定通过FRFT的二维搜索, 可以获得LFM信号的信息。域。然而, 有一些问题需要解决, 如计算等。而多分量LFM信号的FRFT

从图5e中可以看出, 在有限的时间内检测出的信号可能并不令人满意。最后, 从图5c中不难发现, 手稿中提出的RAFL可以检测到多成分的LFM信号, 而且性能是一维搜索, effect更好。

上面的比较和描述只是从模拟中看到的。现在, 我们可以确定一个定量指标来研究检测器的有效性。众所周知, 交叉项的抑制是多分量LFM信号处理的一个重要问题, 因此我们将定量指标定义为

$$r = \frac{|cro|}{If^2} \quad (46)$$

其中cro和 tf 分别为交叉项值和时间频率值。它表示交叉项相对于总体值的比率, 可以看作是交叉项抑制的有效性。RWT、RAT和RAFL的指数分别为3.31、14.28、0.31%。从定量指标来看, 我们可以发现本文提出的RAFL可以有效地抑制交叉项。

检测QFM信号

QFM信号被定义为 $f(t) = \sqrt{1} A e^{j(a_1 t + a_2 \frac{t^2}{2} + a_3 \frac{t^3}{6})}$

($|t| < \frac{T}{2}$), 其中 $T = 10$, $a_1 = 0.1$, $a_2 = 1$, $a_3 = 0.01$, AFL $f(t)$ 的值是

$$AF_{(a,b,c,d)}(\tau, u) = \frac{1}{\sqrt{2\pi b}} A e^{j \frac{d}{2b} u^2 + a_1 \tau + a_3 \frac{\tau^3}{4}} \delta(u - 2a_2 \tau b) \quad (47)$$

$$\left\{ \begin{array}{l} \times (3a_3 \tau + \frac{a}{2b} = 0) \\ \frac{1}{6a_3 b} A^2 e^{j \frac{d}{2b} u^2 + a_1 \tau + a_3 \frac{\tau^3}{4} - j \frac{(2a_2 \tau - u/b)^2}{2(6a_3 \tau + a/b)}} \\ \times (3a_3 \tau + \frac{a}{2b} = 0) \end{array} \right.$$

图6描绘了这个二次调频信号的自动对焦和自动增益, $T = 10s$, $a_1 = 0.1 \text{ rad/s}$, $a_2 = 1 \text{ rad/s}^2$, $a_3 = 0.01 \text{ rad/s}^3$ 。从图6a中我们知道, 经典的自动对焦系统很难检测到立方体相位。然而, 在图6b中, s_3 的表现更为突出。

事实上, QFM信号的主要信息是由其立方相位显示的。也就是说, 立方相位参数可以被看作是我们想要得到的信息。由于第二相的系数efficient大约是立方相的100倍, 可以认为 s_3 , 如果第二相被看作是相对于噪声的SNR是-40dB。立体。

QFM信号AFL也通过AFL平面的原点。因此我们用同样的方法来检测QFM信号。从公式 (33) 可知, 对于功率信号, 如果我们选择特殊参数, AFL可以产生一个脉冲, 而对于有一定时间的能量信号, 会有能量积累的波峰。

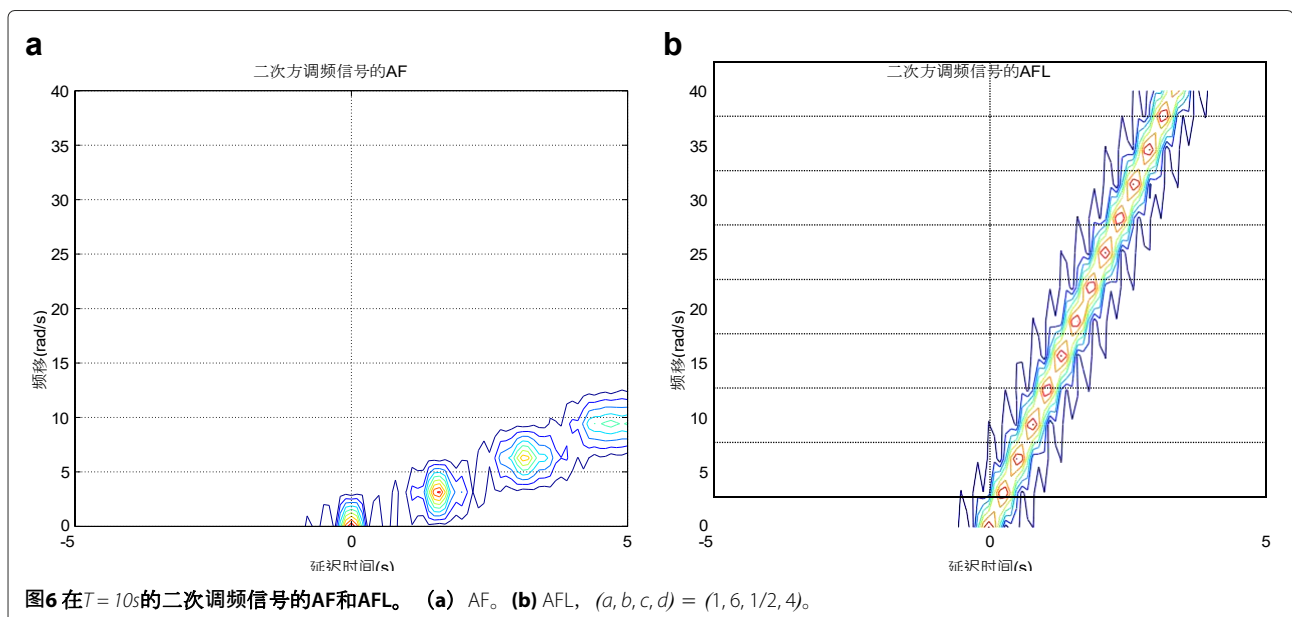


图6 在 $T = 10s$ 的二次调频信号的AF和AFL. (a) AF. (b) AFL, $(a, b, c, d) = (1, 6, 1/2, 4)$.

总结

在经典AF和局部变换理论的基础上, 本文提出了一种与LCT相关的AF的新定义(我们将其命名为AFL), 它可以被视为经典AF的概括之一。我们详细研究了AFL的主要属性。AFL有三个额外的自由, 即LCT的参数, 这使得AFL对LFM信号的分析更有吸引力。通过结合AFL和RT得到的RAFL被用于检测LFM信号。它可以在RAFL平面上产生围绕啁啾率的尖锐峰值, 并且可以有效地抑制交叉项, 这可以从仿真和比较结果中得到验证。沿着这个方向的未来工作是探索AFL在非稳态信号处理中的应用, 以及AFL与[29,30]中提出的其他类型的AF在LFM信号检测和参数估计中的比较。

方法

手稿中使用的所有信号都是由Matlab软件产生的, 模拟部分的算法是根据"AFL的应用"部分提出的主要结果提出的。

竞争性利益

作者声明, 他们没有竞争性利益。

鸣谢

作者要感谢处理编辑和匿名审稿人的宝贵意见和建议。这对我们大幅改进稿件有很大的帮助。作者还要感谢北京理工大学的金海博士的多次讨论和对稿件的校对。这项工作得到了国家自然科学基金(编号60901058和61171195)的支持, 也得到了北京市自然科学基金(编号1102029)的部分支持。

收到: 2011年11月14日 接受: 2012年5月27日 发表: 2012年7月11日


参考文献

1. L Cohen, Time-frequency distribution-a review. *Proc. IEEE*. **77**(7), 941-981 (1989)
2. I Daubechies, *Ten Lectures on Wavelets*. (Philadelphia, PA: SIAM, 1992)
3. HM Ozaktas, MA Kutay, Z Zalevsky, *The Fractional Fourier Transform with Applications in Optics and Signal Processing*. (New York: Wiley, 2001)
4. R Tao, B Deng, Y Wang, *Fractional Fourier Transform and its Applications*. (北京: 清华大学出版社, 2009)
5. V Namias, 分数阶傅里叶变换及其在量子力学中的应用. *IMA J. Appl. Math.* **25**(3), 241-265 (1980)
6. AC McBride, FH Kerr, On Namias's fractional Fourier transforms. *IMA J. Appl. Math.* **39**(2), 59-175 (1987)
7. LB Almeida, 分数傅里叶变换和时频表示. *IEEE Trans.Signal Process.* **42**, 3084-3091 (1994)
8. B Santhanam, JH McClellan, 离散旋转傅里叶变换. *IEEE Trans.Signal Process.* **44**(4), 994-998 (1996)
9. HM Ozaktas, O Ankan, MA Kutay, G Bozdaki, 分数傅里叶变换的数字计算. *IEEE Trans.Signal Process.* **44**(9), 2141-2150 (1996)
10. S-C Pei, J-J Ding, Closed-form discrete fractional and affine Fourier transforms. *IEEE Trans.Signal Process.* **48**(5), 1338-1353 (2000)
11. C-P Li, B-Z Li, T-Z Xu, 从未知位置的非均匀样本中逼近与LCT域相关的带限信号. *Signal Process.* **92**(7), 1658-1664 (2012)
12. R Tao, B-Z Li, Y Wang, 与线性典范变换相关的带限信号的采样问题. *IEEE Trans.Signal Process.* **56**(11), 5454-5464 (2008)
13. S-C Pei, J-J Ding, Eigenfunctions of linear canonical transform. *IEEE Trans.Signal Process.* **50**(1), 11-26 (2002)
14. D Bing, T Ran, W Yue, 线性典型变换的卷积定理及其应用. *Sci. China-Inf.Sci.* **49**(4), 592-603 (2006)
15. D Wei, Y Li, A convolution product theorem for the linear canonical transform. *IEEE Signal Process.Lett.* **16**(10), 853-856 (2009)
16. B-Z Li, T-Z Xu, 线性典型变换域中采样信号的光谱分析. *Math.Math. Probl.Eng.* **2012**, 19 (2012)
17. FS Oktem, HM Ozaktas, 连续和离散线性典范变换的精确关系. *IEEE Signal Process.Lett.* **16**(8), 727-730 (2009)
18. A Koc, HM Ozaktas, C Candan, MA Kutay, 线性典范变换的数字计算. *IEEE Trans.Signal Process.* **56**(6), 2383-2394 (2008)
19. G Kutyniok, LCA群的模糊函数、Wigner分布和Cohen类J. *Math.Anal.Appl.* **277**(2), 589-608 (2003)
20. RG Shenoy, TW Parks, 宽带模糊函数和Affine Wigner分布. *Signal Process.* **41**(3), 339-363 (1995)
21. HT Li, PM Djuric, 多重线性/二次方啁啾的非线性参数的MMSE估计. *IEEE Trans.Signal Process.* **46**(3), 796-801 (1998)
22. CD Luigi, E Moreau, 线性频率调制信号参数估计的迭代算法. *IEEE Signal Process.Lett.* **9**(4), 127-129 (2002)
23. M Mboup, T Adalai, A generalization of the Fourier transform and its application to spectral analysis of chirp-like signals. *Appl. Comput.Harmon.分析.* **32**(2), 305-312 (2012)
24. C Zhe, W Hongyu, Q Tianshuang, 与分数傅里叶三段式相关的模糊函数研究(中文). *Signal Process.* **19**(6), 499-502 (2003)
25. S Barbarossa, 用Winger-Hough组合变换分析多成分LFM信号. *IEEE Trans.Signal Process.* **43**(6), 1511-1515 (1995)
26. X-G Xia, 离散啁啾-傅里叶变换及其在啁啾率估计中的应用. *IEEE Trans.Signal Process.* **48**(11), 3122-3133 (2006)
27. Wigner-Ville分布的钻石变换用于多分量LFM信号的分析. *Signal Process.* **89**(5), 791-806 (2009)
28. M Wang, AK Chan, CK Chui, 使用Radon-Ambiguity变换的线性频率调制信号检测. *IEEE Trans.Signal Process.* **46**(3), 571-587 (1998)
29. S-C Pei, J-J Ding, 分数运算与分母之间的关系 时间-频率分布及其应用. *IEEE Trans.Signal Process.* **49**(8), 1638-1655 (2001)
30. H Zhao, Q-W Ran, J MA, L-Y Tan, 线性典范模糊函数和线性典范变换时刻. *Optik.* **122**(6), 540-543 (2011)
31. JJ Healy, JT Sheridan, 信号的线性典范变换具有紧凑支持或带状限制的情况. *Opt.Lett.* **33**(3), 228-230 (2008)
32. C Candan, HM Ozaktas, 分数傅里叶和其他变换的采样和序列扩展定理. *Signal Process.* **83**(11), 2455-2457 (2003)
33. B-Z Li, R Tao, Y Wang, 与线性典范变换有关的新采样公式. *Signal Process.* **87**(5), 983-990 (2007)
34. JJ Healy, JT Sheridan, 线性典范变换的采样和离散化. *Signal Process.* **89**(4), 641-648 (2009)
35. J Zhao, R Tao, Y-L Li, Y Wang, 线性典范变换的不确定性原则. *IEEE Trans.Signal Process.* **57**(7), 2856-2858 (2009)

36. KK Sharma, SD Joshi, 线性典范变换域中真实信号的不确定性原则. *IEEE Trans. Signal Process.* **56**(7), 2677-2683 (2008)
37. A Stern, 线性典范变换域中的不确定性原则及其在光学中的一些影响. *J. Opt. Soc. Am.* **25**(3), 647-652 (2008)
38. I Gradshteyn, I Ryzhik, *积分、数列和产品表*. (San Diego, CA: Academic, 1980)

doi:10.1186/1687-6180-2012-138

将这篇文章引用为: Che et al.: 与线性典范变换相关的模糊性函数。
EURASIP Journal on Advances in Signal Processing 2012 **2012**:138.

将您的稿件提交给期刊并从中受益。

7 方便的在线提交

7 严格的同行评审

7 接受后立即出版 7 开放存取: 文章可在网上免费获取 7 在该领域内的高知名度

7 保留你的文章的版权

在 www.springeropen.com 提交你的下一篇稿件